

Universidade de São Paulo  
EESC

SEM0530 - Problemas de Engenharia Mecatrônica II  
Prof. Marcelo Areias Trindade

Prática 4 - Aproximação numérica de EDOs de 1<sup>a</sup> ordem

Aluno: Marcus Vinícius Costa Reis (12549384)

30/06/2022

# Contents

<b>1</b>	<b>Problema</b>	<b>3</b>
<b>2</b>	<b>Formulações</b>	<b>3</b>
<b>3</b>	<b>Resultados</b>	<b>4</b>
<b>4</b>	<b>Gráficos</b>	<b>5</b>
4.1	$v$ vs $t$ . . . . .	5
4.2	$r$ vs $\theta$ . . . . .	6
4.3	$r$ vs $t$ . . . . .	7
4.4	$\theta$ vs $t$ . . . . .	8
4.5	$\dot{\theta}$ vs $\theta$ . . . . .	9
4.6	$\dot{\theta}$ vs $t$ . . . . .	10
4.7	$\dot{r}$ vs $t$ . . . . .	11
4.8	$\dot{r}$ vs $\theta$ . . . . .	12
<b>5</b>	<b>Scripts</b>	<b>12</b>
5.1	Integração numérica . . . . .	12
5.2	Funções de evolução . . . . .	12
5.3	Gráficos de evolução . . . . .	14
5.4	Obtenção de resultados . . . . .	15
<b>6</b>	<b>Conclusões</b>	<b>15</b>

# 1 Problema

- Dada a trajetória a ser executada por um corpo, conhecida em coordenadas polares  $r(\theta) = 20(3 - 2 \cos(\theta)) \text{ cm}$ , encontrar a velocidade angular  $\dot{\theta}$  a ser imposta para que o corpo execute o movimento com velocidade  $v(t) = 0.05(100 + N)(100 - t) \text{ mm/s}$ , sendo  $N$  formado pelos dois últimos algarismos do Número USP do aluno.

Nesse caso,  $N = 84 \Rightarrow v(t) = 0.05(184)(100 - t) = 9.2(100 - t) \text{ mm/s}$ , ou

$$v(t) = 9.2 \times 10^{-1} (100 - t) \text{ cm/s}$$

- Usando um algoritmo de integração numérica, calcule a evolução do deslocamento angular  $\theta(t)$  ao longo de ao menos três voltas completas
- Determine também a evolução do deslocamento radial  $r(t)$
- Apresente as evoluções em gráficos ( $\theta$  vs  $t$ ,  $r$  vs  $t$ ,  $\dot{\theta}$  vs  $t$ ,  $\dot{r}$  vs  $t$ ,  $r$  vs  $\theta$ ,  $v$  vs  $t$ )
- Usando a aproximação numérica, determine também quanto tempo é necessário para a execução de três voltas completas

# 2 Formulações

Em primeira instância, tem-se que o vetor velocidade de um corpo que executa uma trajetória descrita, como a do problema, em coordenadas polares, pode ser expresso por:

$$\vec{v}(t) = v_r(t)\vec{u}_r + v_\theta(t)\vec{u}_\theta, \text{ onde}$$

$$v_r(t) = \frac{dr(t)}{dt} = \dot{r}(t) \text{ e } v_\theta(t) = r(t)\frac{d\theta(t)}{dt} = r(t)\dot{\theta}(t)$$

De forma compacta:  $\vec{v} = v_r\vec{u}_r + v_\theta\vec{u}_\theta$ , com  $v_r = \dot{r}$  e  $v_\theta = r\dot{\theta}$ .

Para o problema em questão, derivou-se  $r(\theta)$  em função de  $\theta$  para se obter

$$\dot{r}(\theta) = 40 \sin \theta \, d\theta/dt$$

Assim,

$$v_r = 40 \sin \theta \, d\theta/dt \text{ e } v_\theta = 20(3 - 2 \cos \theta) \, d\theta/dt$$

Sabe-se que o módulo de  $\vec{v}$  é dado por

$$v(t) = |\vec{v}(t)| = \sqrt{v_r^2(t) + v_\theta^2(t)} \Rightarrow v^2(t) = v_r^2(t) + v_\theta^2(t)$$

Desse modo,

$$\begin{aligned} v^2(t) &= (40 \sin \theta \, d\theta/dt)^2 + [20(3 - 2 \cos \theta) \, d\theta/dt]^2 \\ &= 1600 \sin^2 \theta (d\theta/dt)^2 + 400(9 - 12 \cos \theta + 4 \cos^2 \theta) (d\theta/dt)^2 \\ &= (1600 \sin^2 \theta + 3600 - 4800 \cos \theta + 1600 \cos^2 \theta) (d\theta/dt)^2 \\ &= [1600(\sin^2 \theta + \cos^2 \theta) + 3600 - 4800 \cos \theta] (d\theta/dt)^2 \\ &= (5200 - 4800 \cos \theta) (d\theta/dt)^2 \\ &= 400(13 - 12 \cos \theta) (d\theta/dt)^2 \end{aligned}$$

No entanto, o corpo deve executar a trajetória com velocidade

$$v(t) = 9.2 \times 10^{-1} (100 - t) \text{ cm/s}$$

Assim,

$$\begin{aligned} 400(13 - 12 \cos \theta) (d\theta/dt)^2 &= [9.2 \times 10^{-1} (100 - t)]^2 \\ \iff \frac{d\theta}{dt} &= \frac{9.2 \times 10^{-1} (100 - t)}{20\sqrt{13 - 12 \cos \theta}} \end{aligned} \quad (1)$$

Tem-se, dessa maneira, que  $d\theta/dt$  se apresenta como uma função de  $t$  e  $\theta$ , ou seja,

$$\frac{d\theta}{dt} = \psi(\theta, t)$$

Pode-se, ainda, notar que

$$\frac{d\theta}{dt} = \frac{v(t)}{20\sqrt{13 - 12 \cos \theta}}$$

Portanto,  $d\theta/dt$  pode também ser entendida como uma função de  $\theta$  e  $v(t)$ :

$$\frac{d\theta}{dt} = \varphi(\theta, v(t))$$

Por meio da expressão 1, pôde-se utilizar um algoritmo de integração numérica interno ao MATLAB para obter a evolução do deslocamento angular  $\theta(t)$  da partícula, e consequentemente determinar as outras evoluções desejadas. Tais empreitadas serão melhor detalhadas na seção dos Resultados.

### 3 Resultados

Principiando pela determinação da evolução do deslocamento angular, utilizou-se do método interno ao MATLAB *ode45* para obter o vetor de valores de  $\theta(t)$ , conhecido o vetor tempo passado como argumento. O script utilizado é mostrado na seção *Scripts*.

Vale ressaltar que, a princípio, não era conhecido o tempo decorrido após três voltas completas. Sendo assim, utilizou-se um intervalo de teste:

$$t = [0 : 0.02 : 25]$$

Em seguida, a partir do uso do método *find*, encontrou-se a primeira posição no vetor  $\theta(t)$  a partir da qual já se havia percorrido três voltas, ou seja,  $6\pi \text{ rad}$ . O elemento de posição correspondente no vetor tempo é aproximadamente o tempo de três voltas. Novamente, os comandos utilizados são mostrados na seção *Scripts*.

Assim, foi possível determinar também as evoluções de  $r(t)$ ,  $\dot{r}(t)$  e  $\dot{\theta}(t)$  em função do tempo. Os gráficos puderam também ser construídos.

Com a discretização utilizada, chegou-se, por meio da função *find* à seguinte aproximação para o tempo  $t_3$  decorrido após 3 voltas:

$$t_3 = 15.5200 \text{ s}$$

Sendo assim, percorreu-se as três voltas dentro do intervalo de teste utilizado. Por tal razão, manteve-se o intervalo para a criação dos gráficos de evolução.

A seu turno, o passo de tempo de  $0.02\text{ s}$  foi mantido após o retorno do valor de  $\theta(t_3)$  obtido por meio da posição encontrada pelo método *find*

$$\theta(t_3) = 18.8633\text{ rad},$$

e sua comparação com o valor exato  $6\pi = 18.8496\text{ rad}$ , de forma que

$$\frac{|\theta(t_3) - 6\pi|}{|\theta(t_3)|} \cdot 100 = 0.073\%$$

Por fim, o valor obtido para  $r(t_3)$  foi de

$$r(t_3) = 20.0038\text{ cm},$$

bem próximo ao valor exato  $r(\theta = 6\pi) = 20\text{ cm}$ .

## 4 Gráficos

Na presente seção, são mostrados os gráficos concernentes a algumas evoluções relacionadas ao movimento descrito pela partícula.

### 4.1 $v$ vs $t$

O gráfico de  $v$  vs  $t$  é uma simples reta decrescente, descrita pela expressão já mencionada:

$$v(t) = 9.2 \times 10^{-1} (100 - t)\text{ cm/s}$$

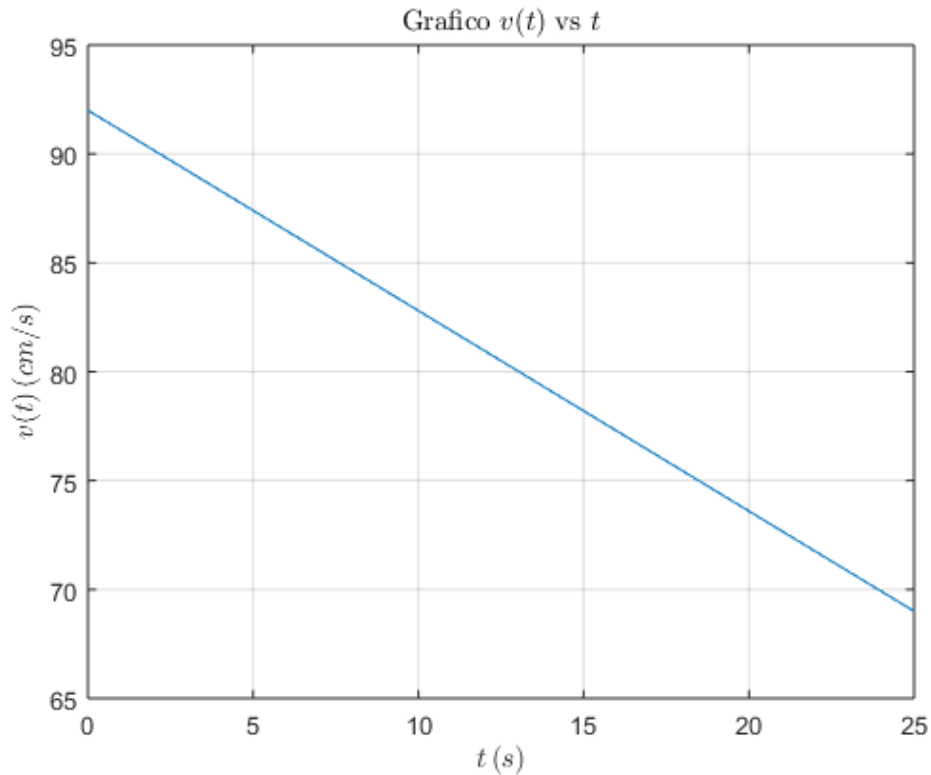


Figure 1: Gráfico 1:  $v$  vs  $t$

## 4.2 $r$ vs $\theta$

O gráfico de  $r$  vs  $\theta$  está diretamente relacionado com a trajetória descrita pelo corpo, cuja equação

$$r(\theta) = 20(3 - 2 \cos(\theta)) \text{ cm}$$

mostra a periodicidade retratada no gráfico. Vale destacar que  $r$  é sempre positivo, já que representa uma distância, sendo esta medida da origem ao ponto onde se encontra o corpo.

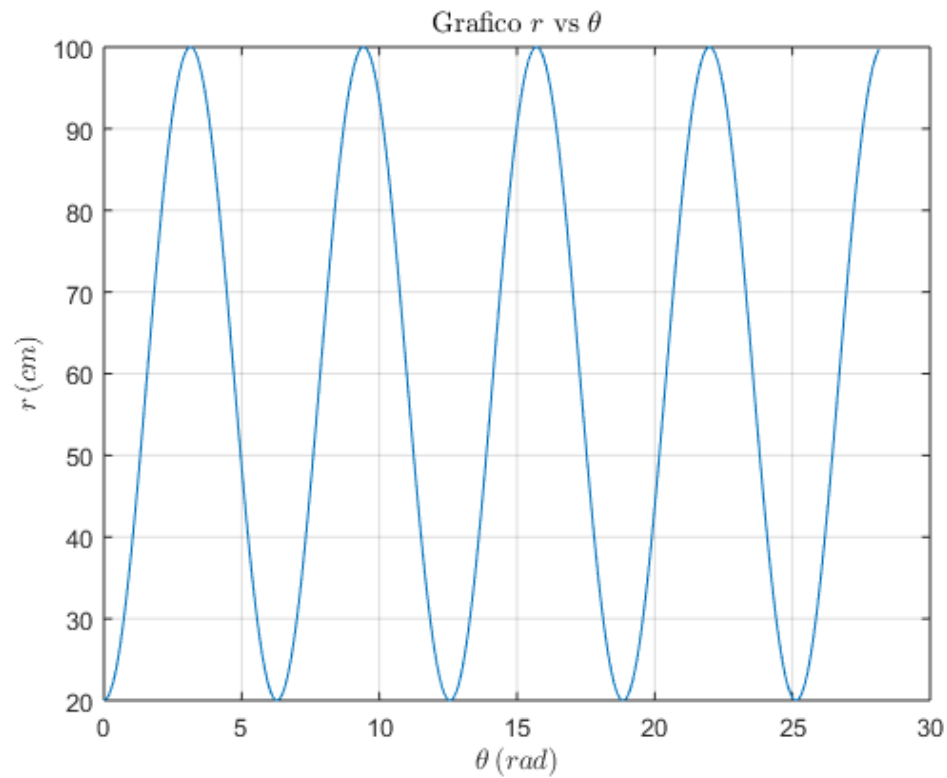


Figure 2: Gráfico 2:  $r$  vs  $\theta$

### 4.3 $r$ vs $t$

O gráfico em questão é muito semelhante ao anterior, e a diferença segue da relação entre  $\theta$  e  $t$ .

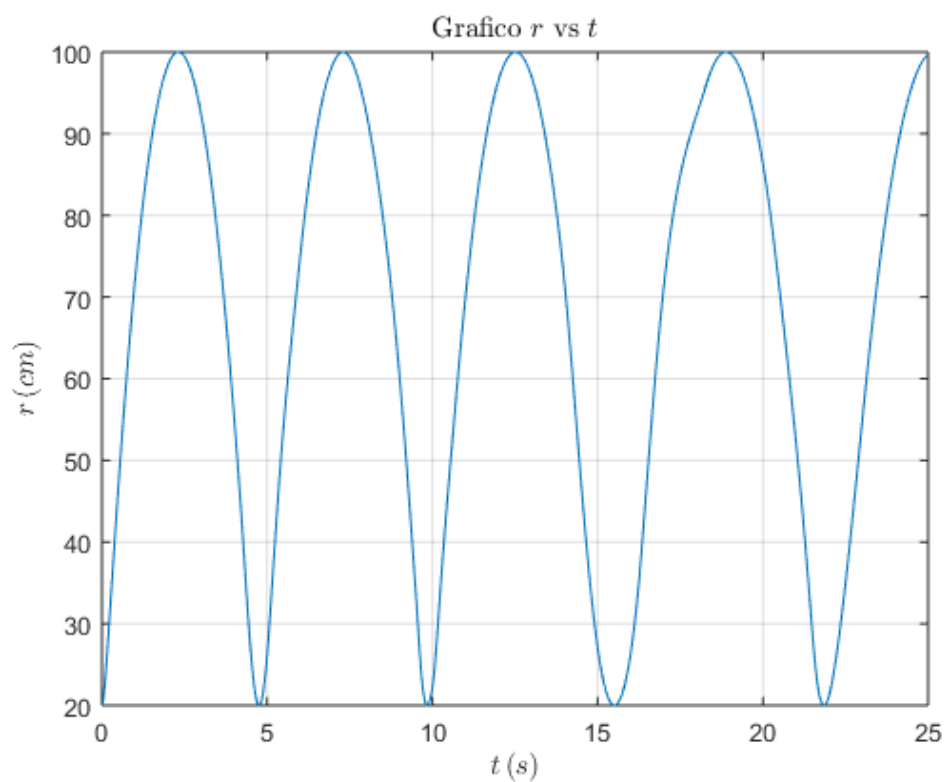


Figure 3: Gráfico 3:  $r$  vs  $t$

#### 4.4 $\theta$ vs $t$

O gráfico  $\theta$  vs  $t$  é a representação direta da solução de integração numérica obtida através do MATLAB. Claramente a relação não é linear, o que pode ser previsto observando que  $\theta$  aparece como argumento do cos na Equação 1.

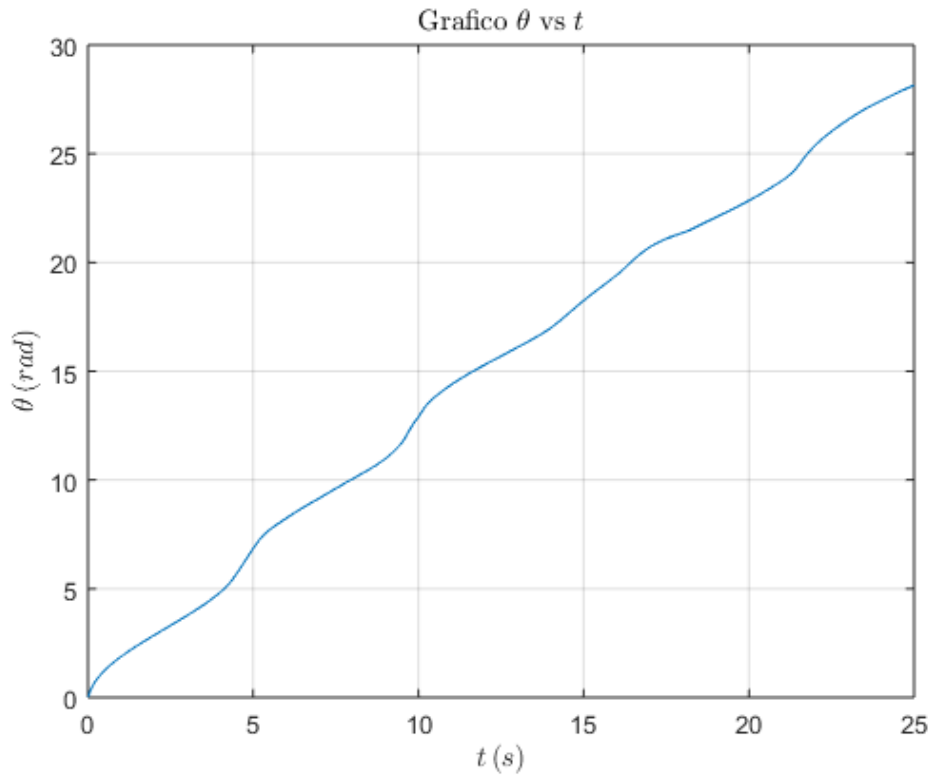


Figure 4: Gráfico 4:  $\theta$  vs  $t$



#### 4.5 $\dot{\theta}$ vs $\theta$

O que é válido destacar nesse gráfico é a diminuição da altura dos picos conforme  $\theta$  tem sua progressão, o que está de acordo com o comportamento decrescente do módulo da velocidade da partícula.

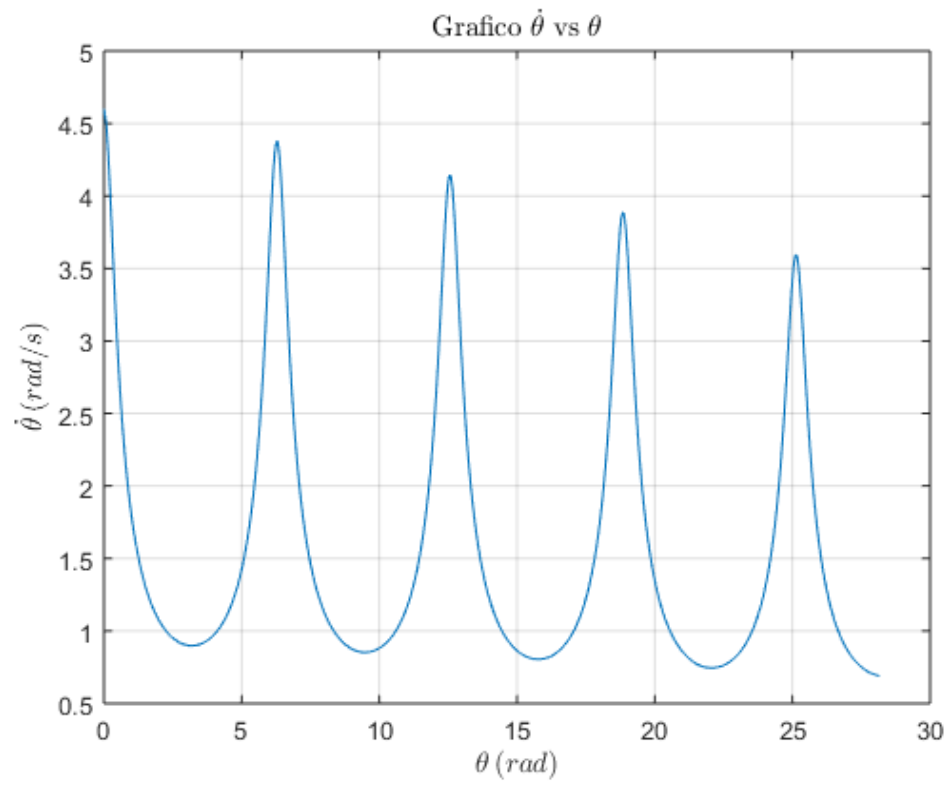


Figure 5: Gráfico 5:  $\dot{\theta}$  vs  $\theta$

## 4.6 $\dot{\theta}$ vs $t$

Análogo ao anterior.

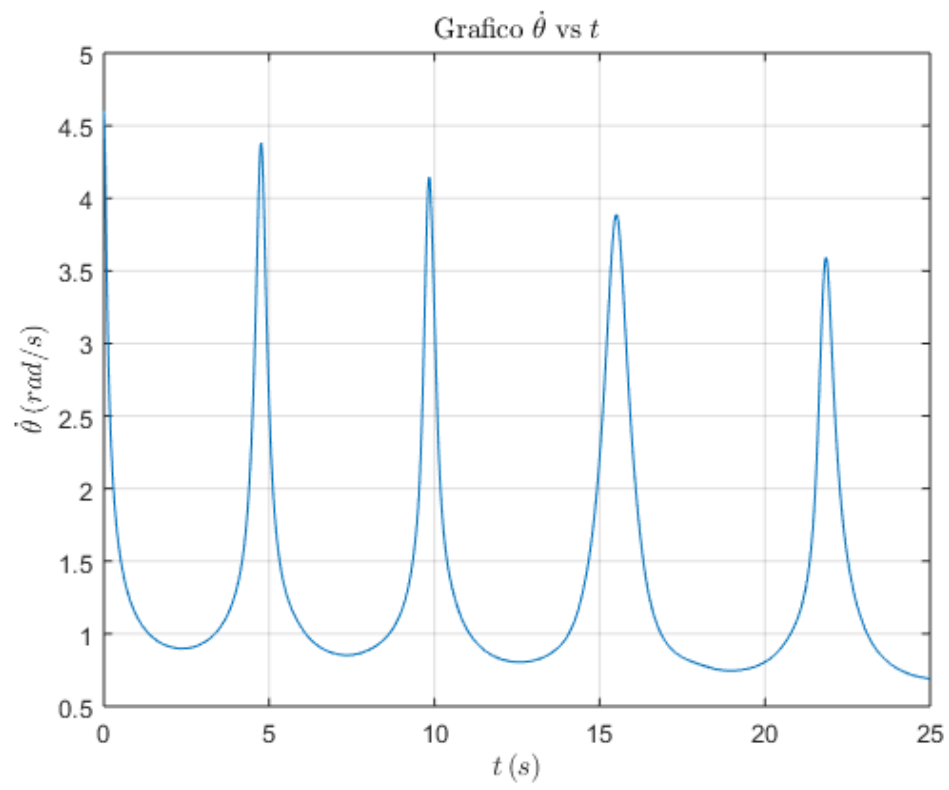


Figure 6: Gráfico 6:  $\dot{\theta}$  vs  $t$

#### 4.7 $\dot{r}$ vs $t$

O gráfico em questão estabelece o comportamento da velocidade radial, que se relaciona indiretamente com o formato da trajetória. É válido destacar a espécie de curva de onda formada, que alterna entre valores positivos e negativos, o que é explicado pela simetria da trajetória em relação ao eixo- $x$ , de modo que em metade do percurso o raio cresce, enquanto na outra metade, decresce.

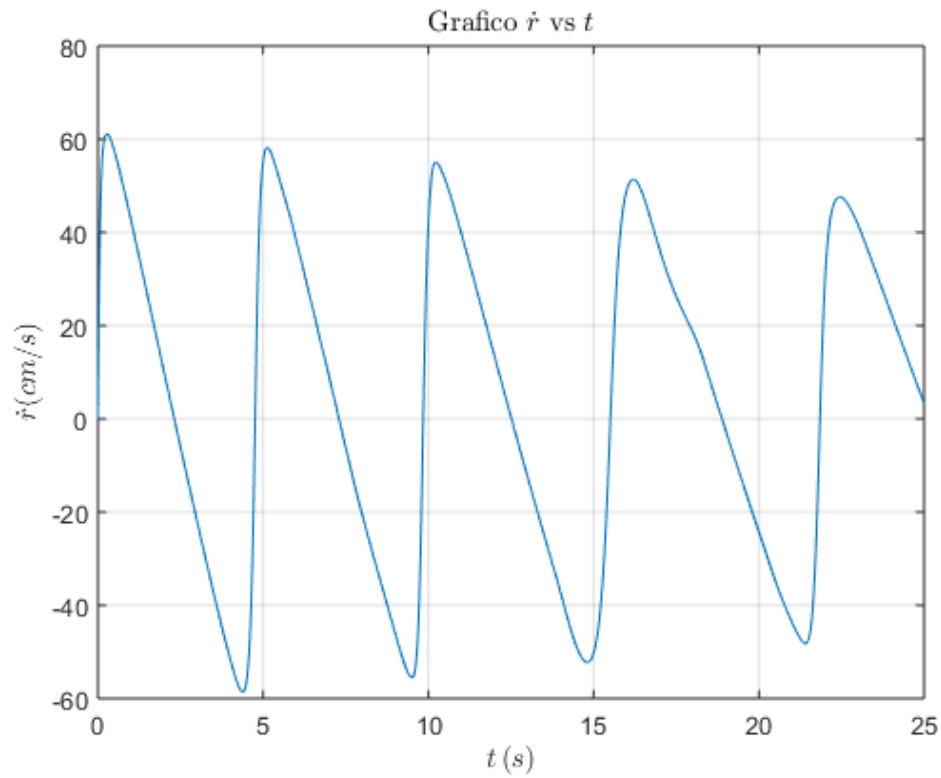


Figure 7: Gráfico 7:  $\dot{r}$  vs  $t$

## 4.8 $\dot{r}$ vs $\theta$

Análogo ao anterior, com uma curva mais suave.

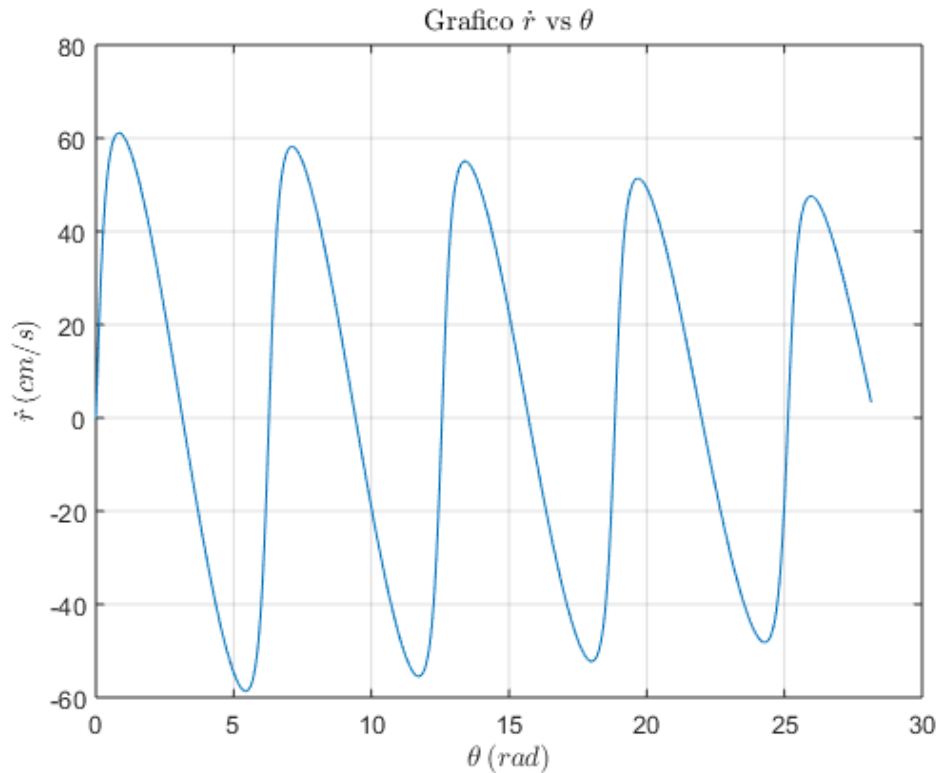


Figure 8: Gráfico 8:  $\dot{r}$  vs  $\theta$

## 5 Scripts

Nessa seção, apresentam-se os scripts utilizados para a obtenção das evoluções e seus gráficos.

### 5.1 Integração numérica

```
1 function [t,s] = ang_desloc
2     ti = 0; dt = 0.02; tf = 25;
3     [t,s] = ode45(@(t,s) ang_vel(t,s),[ti:dt:tf],[0]);
4
```

Listing 1: integração numérica; *ang\_desloc* é declarada em separado

Obs.: [0] representa a condição inicial para  $\theta$  ( $\theta(t=0) = 0$ ).

### 5.2 Funções de evolução

```
1 function dsdt = ang_vel(t,s)
2     dsdt = 0.92*(100-t)./(20*(13-12*cos(s)).^(1/2));
3
```

Listing 2: derivada de theta como função de theta e  $t$

```

1 function r = rad_desloc (t,dt,vs)
2 kf = t(end)/dt + 1;
3     for k = 1:kf
4         r(k) = 20*(3-2*cos(vs(k)));
5     end
6

```

Listing 3: deslocamento radial

```

1 function drdt = rdot(t,dt,vs,ds)
2 kf = t(end)/dt + 1;
3     for k = 1:kf
4         drdt(k) = 40*sin(vs(k))*ds(k);
5     end
6

```

Listing 4: velocidade radial

```

1 function v = vel (t,dt)
2 kf = t(end)/dt + 1;
3     for k = 1:kf
4         v(k) = 0.92*(100 - t(k));
5     end
6

```

Listing 5: módulo da velocidade

### 5.3 Gráficos de evolução

```
1 % Script utilizado para graficar as evolucoes desejadas
2
3 % Integracao numerica para obter evolucao de theta(t)
4 [t,theta] = ang_desloc;
5 dt = t(2) - t(1); % passo
6
7 % Chamando as funcoes para obter theta', r, r', v
8 v = vel(t,dt);
9 r = rad_desloc(t,dt,theta);
10 theta_pt = ang_vel(t,theta);
11 r_pt = rdot(t,dt,theta,theta_pt);
12
13 % Construção dos graficos de evolucao
14 i = 'Interpreter'; l = 'latex';
15
16 figure(1) % v x t
17 plot(t,v), grid
18 title('Grafico $v(t)$ vs $t$',i,l)
19 xlabel('$t \, ,(s)$',i,l), ylabel('$v(t) \, ,(cm/s)$',i,l)
20
21 figure(2) % r x theta
22 plot(r,theta), grid
23 title('Grafico $r$ vs $\theta$',i,l)
24 xlabel('$\theta \, ,(rad)$',i,l), ylabel('$r \, ,(cm)$',i,l)
25
26 figure(3) % theta vs t
27 plot(t,theta), grid
28 title('Grafico $\theta$ vs $t$',i,l)
29 xlabel('$t \, ,(s)$',i,l), ylabel('$\theta \, ,(rad)$',i,l)
30
31 figure(4) % r x t
32 plot(t,r), grid
33 title('Grafico $r$ vs $t$',i,l)
34 xlabel('$t \, ,(s)$',i,l), ylabel('$r \, ,(cm)$',i,l)
35
36 figure(5) % theta_pt vs t
37 plot(t,theta_pt), grid
38 title('Grafico $\dot{\theta}$ vs $t$',i,l)
39 xlabel('$t \, ,(s)$',i,l), ylabel('$\dot{\theta} \, ,(rad/s)$',i,l)
40
41 figure(6) % r_pt vs t
42 plot(t,r_pt), grid
43 title('Grafico $\dot{r}$ vs $t$',i,l)
44 xlabel('$t \, ,(s)$',i,l), ylabel('$\dot{r} \, ,(cm/s)$',i,l)
45
46 figure(7) % theta_pt vs theta
47 plot(theta,theta_pt), grid
48 title('Grafico $\dot{\theta}$ vs $\theta$',i,l)
49 xlabel('$\theta \, ,(rad)$',i,l), ylabel('$\dot{\theta} \, ,(rad/s)$',i,l)
50
```

Listing 6: construção dos gráficos de evolução

## 5.4 Obtenção de resultados

```
1 >> [t,theta] = ang_desloc;  
2 >> vpos = find(theta > 6*pi);  
3 >> pos = vpos(1)  
4 >> pos == 777  
5  
6 >> t(777)  
7 >> t == 15.5200  
8  
9 >> theta(777)  
10 >> ans == 18.8633  
11  
12 >> r = rad_desloc(t,dt,theta);  
13 >> r(777)  
14 >> r == 20.0038  
15
```

Listing 7: sequência de comandos utilizados para obtenção de certos resultados; e seus retornos

## 6 Conclusões

Em primeira análise, pode-se dizer que foi realizado um estudo minimamente razoável do problema proposto, de modo que se obtiveram resultados e comportamentos condizentes com a trajetória desenvolvida pelo corpo em questão.

Ademais, a aproximação de integração numérica da qual se fez uso proporcionou resultados plausíveis e confiáveis.

Por fim, deve-se destacar o papel essencial associado ao MATLAB, seus métodos e funcionalidades, nas construções e determinações realizadas.